

**ODREDJIVANJE DINAMIČKOG JUNGOVOG  
MODULA ELASTIČNOSTI TOKOM ISPITIVANJA  
TERMOSTABILNOSTI VATROSTALNOG MATERIJALA**

**INVESTIGATION OF DYNAMIC YOUNG MODULUS DURING  
THERMAL STABILITY TESTING OF THE REFRactory  
MATERIAL**

D. PRTEŃJAK<sup>1</sup>, M. MATIJAŠEVIĆ<sup>1</sup>, M. CVETKOVIĆ<sup>2</sup>,  
J. MAJSTOROVIĆ<sup>2</sup>, T. VOLKOV-HUSOVIC<sup>1</sup>

<sup>1</sup>*Tehnološko-metalurški fakultet, Beograd*

<sup>2</sup>*Rudarsko-geološki fakultet, Beograd*

**IZVOD**

Ispitivana je termostabilnost vatrostalnog materijala sa sadržajem 42 %  $\text{Al}_2\text{O}_3$ . Korišćena je standardna metoda vodenog hladjenja (JUS.B.D8.319.). Uzorci su snimljeni pre ispitivanja, kao i posle određenog broja ciklusa. Dinamički Jungov modul elasticnosti je određen na osnovu izmerenih brzina longitudinalnih (Vp) i transverzalnih (Vs) talasa. Preglavljene su vrednosti dinamičkog modula elasticnosti i promene pritisne čvrstoće u funkciji broja ciklusa ispitivanja termostabilnosti. Na osnovu dobijenih rezultata data je analiza praćenja ponašanja vatrostalnog uzorka izloženom termošoku.

**Ključne reči:** vatrostalni materijal, dinamički Jungov modul elasticnosti, termostabilnost

**ABSTRACT**

Thermal stability of the refractory material with the content of 42 %  $\text{Al}_2\text{O}_3$  was investigated. Water quench test (JUS.B.D8.319.) was applied. Photographs of the samples before cycling, and after some number of cycles were given. Dynamic Young modulus of elasticity was calculated using measured values of longitudinal (Vp) and transversal (Vs) velocities. Values of dynamic Young modulus and changing in compressive strength during testing were presented as function of the measured number of quench experiments. Analysis of the thermal shock behavior of the samples based on the obtained results was given.

**Key words:** refractories, dynamic Young modulus, thermal stability

## 1. UVOD

Vatrostalni materijali su u uslovima eksploatacije često izloženi naglim promenama temperature. Zbog toga je odredjivanje njihove termostabilnosti, sastavni deo uobičajnih ispitivanja. U ovom radu je pretstavljeno praćenje termostabilnosti materijala satava 42 %  $\text{Al}_2\text{O}_3$ .

Termošokovi u vatrostalnom materijalu dovode do pojave kvazistatičkog ili dinamičkog rasta prskotina, što se manifestuje smanjenjem čvrstoće. Poznato da pojava mikro i makro prskotina u materijalu ima uticaja na brzine longitudinalnih i transverzalnih talasa, kao i Jungov modul elastičnosti materijala. Ovo je iskorišćeno za direktno praćenje nivoa oštećenja uzoraka prilikom ispitivanja termostabilnosti. Iako je praćenje pojave i razvoja prskotina prilikom termošoka od značaja za materijal prilikom ugradnje i rada u industriji, sa aspekta veka trajanja materijala, kao i sigurnosti konstrukcija, do sada nije u literaturi bilo mnogo radova koji se odnose na nedestruktivne metode koje bi se mogle upotrebiti. U literaturi su poznati radovi Copaka [1], kao i grupe autora [2-4], koji su se bavili primenom nedestruktivnih metoda pri praćenju termostabilnosti.

## 2. EKSPERIMENTALNI DEO

### *2.1. Materijal*

Grupa materijala na bazi  $\text{Al}_2\text{O}_3$  je korišćena i u ranijim ispitivanjima termostabilnosti, u okviru kojih je određen niz termomehaničkih osobina [4-13]. U ovom radu su korišćeni uzorci sa 42 %  $\text{Al}_2\text{O}_3$  čije su relevantne osobine pretstavljene u tabeli 1.

Termostabilnost odabranih uzoraka je određena standardnom metodom vodenog hladjenja (JUS.B. D8. 319).

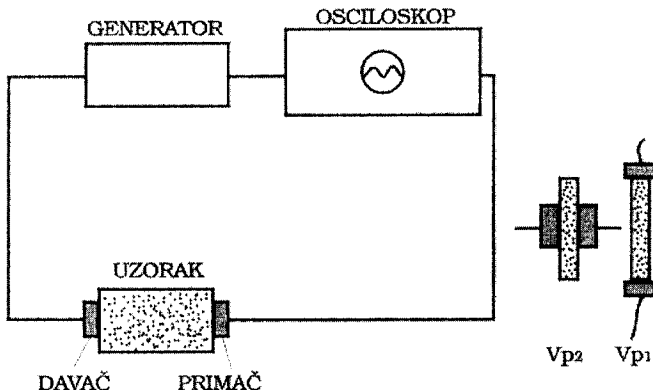
*Tabela 1 - Sastav i termomehaničke karakteristike uzoraka [4-9]*

*Table 1 - Structure and termomechanical properties of materials [4-9]*

Parametar	vrednost
$\text{Al}_2\text{O}_3 + \text{TiO}_2$ , (%)	42
Gustina, $\rho$ ( $\text{g}/\text{cm}^3$ )	2.93
Konduktivnost, $k$ ( $\text{W}/(\text{m}\text{K})$ )	1.35
Specifična toplota, $c$ ( $\text{kJ}/(\text{kg}\text{K})$ )	1.03
Koef. linearog termičkog širenja, $\alpha$ (%)	0.7
Pritisna čvrstoća, $\sigma_p$ ( $\text{MPa}$ )	43
Savojna čvrstoća, $\sigma_s$ ( $\text{MPa}$ )	7.4
Energija loma, $\gamma$ ( $\text{kJ}/\text{m}^2$ )	15
Termostabilnost, (broj ciklusa)	11

*2.2. Odredjivanje dinamičkog modula elastičnosti  
i Poasonovog koeficijenta*

Korišćena metoda odredjivanja dinamičkog Jungovog modula elastičnosti (JUS. D. B8.121) je prikazana sa slici 1.



*Slika 1 - Shematski prikaz metode*

*Figure 1 - Schematic diagram of the method*

Na osnovu utvrđenih vrednosti za brzine longitudinalnih ( $V_p$ ) i transverzalnih ( $V_s$ ) talasa, prema poznatoj vrednosti za zapreminsку težinu ( $\gamma$ ), određen je dinamički modul elastičnosti  $E_{dyn}$ , na osnovu korišćenja izraza [14]:

$$E_{dyn} = V_p^2 \rho \{ (1 + \mu_{dyn}) (1 - 2 \mu_{dyn}) / (1 - \mu_{dyn}) \} \quad (1)$$

Gde je:

$V_p$  – brzina longitudinalnih elastičnih talasa (m/s)

$V_s$  – brzina transverzalnih elastičnih talasa (m/s)

$\mu_{dyn}$  - Poasonov koeficijent

$\gamma$  - zapreminska težina ( $\text{kN/m}^3$ )

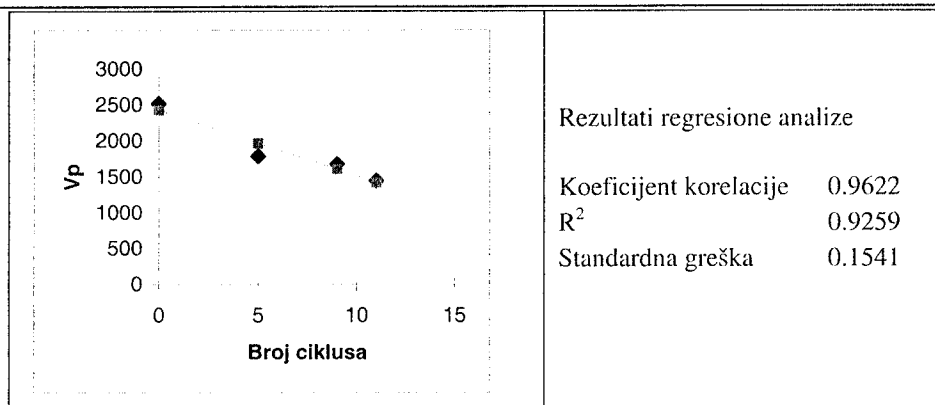
$$\rho = \gamma/a \quad (2)$$

$$\alpha = V_p/V_s \quad (3)$$

$$\mu_{dyn} = (2\alpha^2 - 1) / (2\alpha^2 - 2) \quad (4)$$

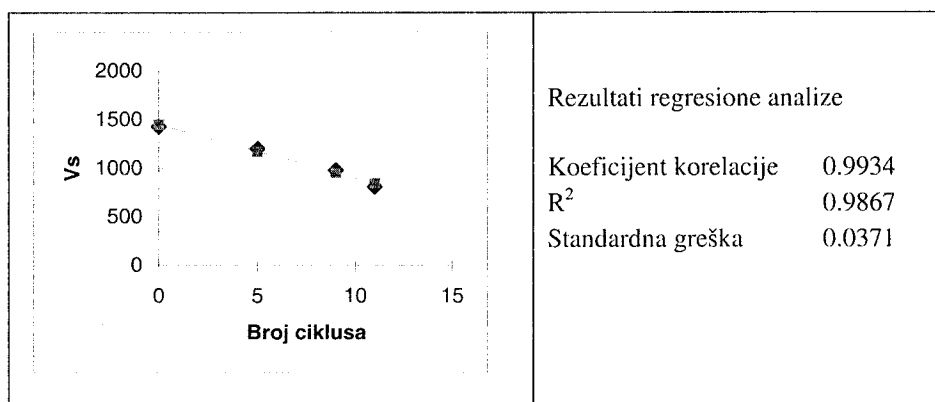
### 3. REZULTATI I DISKUSIJA

Na osnovu izvršenih merenja pretstavljenih u prethodnom poglavlju, izračunate su brzine talasa, i pretstavljene u funkciji broja ciklusa ispitivanja uzorka. Dobijeni rezultati su pretstavljeni na slikama 2 i 3.



Slika 2 - Brzina longitudinalnih talasa (Vp) u funkciji broja ciklusa

Figure 2 - Ultrasound velocity (Vp) of longitudinal waves versus number of cycles

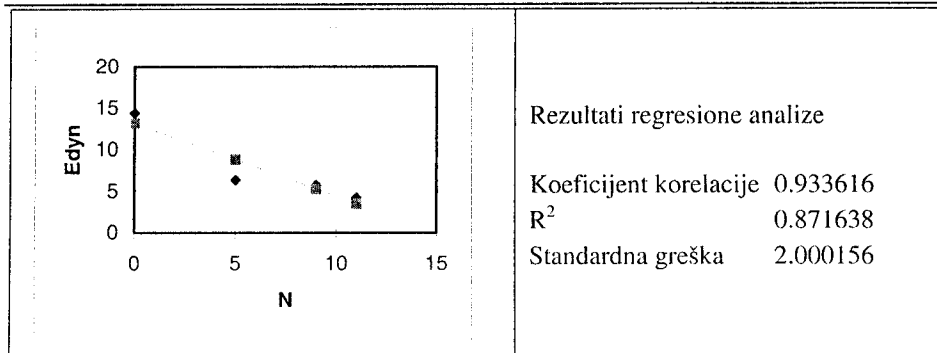


Slika 3 - Brzina transverzalnih talasa (Vs) u funkciji broja ciklusa

Figure 3 - Ultrasound velocity (Vs) of transversal waves versus number of cycles

Visoke vrednosti koeficijenta korelaciјe upućuju na postojanje vrlo jake zavisnosti imedju određenih brzina talasa i broja ciklusa ispitivanja. Sa povećanjem broja ciklusa ispitivanja dolazi do smanjivanja vrednosti brzina. Ovo se može povezati sa nivom otećenja u materijalu. Sa povećavanjem otećenja uzorka dolazi do opadanja izmerenih brzina. Već samo merenje brzina talasa može biti upotrebljeno za određivanje nivoa otećenja vatrostalnog uzorka.

Dinamički Jungov modul elastičnosti je određen na osnovu izraza (1). Dobijeni rezultati su predstavljeni u funkciji izrežnog broja ciklusa, na slici 4.



Slika 4 - Dinamički Jungov modul elastičnosti (GPa) u funkciji broja ciklusa

Figure 4 - Dynamic Young modulus (GPa) versus number of cycles

Na osnovu rezultata sa slike 4. takođe se zapaža korelacija dinamičkog Jungovog modula elastičnosti sa brojem ciklusa, samo je koeficijent korelacije niži nego u prethodnim slučajevima.

Na osnovu proračunatih vrednosti brzina talasa u uzorku i znajući vrednost pritisne čvrstoće materijala pre izlaganja termalnom šoku i na osnovu jednačine [4].

$$\sigma = \sigma_o (V_L / V_{L0})^n \quad (5)$$

gde je:

$\sigma$  - pritisna čvrstoća

$\sigma_o$  - pritisna čvrstoća pre izlaganja termošoku

$V_L$  – brzina talasa ( longitudinalnih ili transvezalnih ) u uzorku

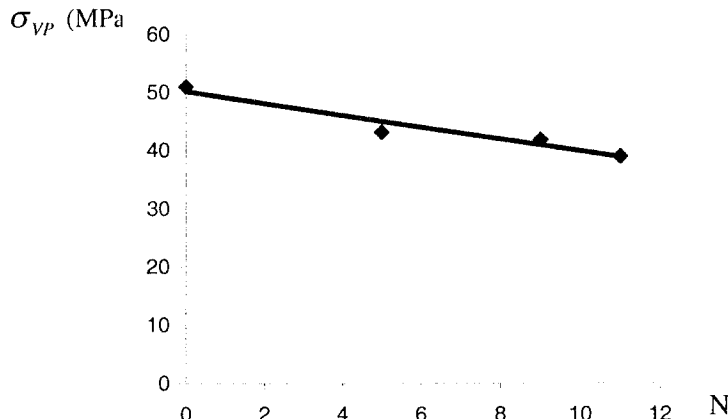
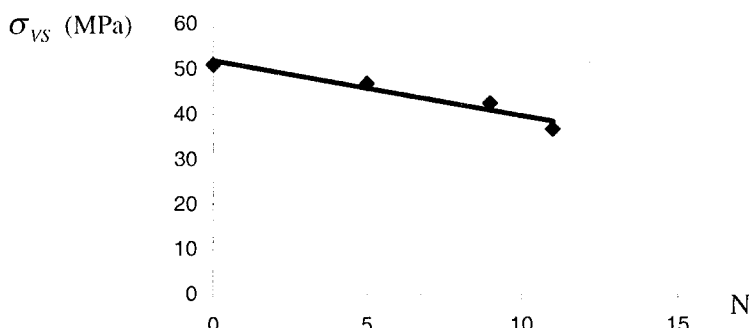
n – konstanta materijala uzeta da je 0,488 [4]

Izračunate su vrednosti pritisne čvrstoće u oba slučaja ( sa longitudinalnim i transvezalnim brzinama ) i prikazane na slikama 5 i 6.

Sa slike 5. i 6. može se uočiti jaka linearna zavisnost promene pritisne čvrstoće sa brojem ciklusa što pokazuju i rezultati linearne regresione analize prikazane u tabeli 2.

Tabela 2 - Rezultati linearne regresione analize zavisnosti pritisne čvrstoće  $\sigma_{VP}$  i  $\sigma_{VS}$  od broja ciklusaTable 2 - Results of the linear regression analysis of dependances compressive strength versus  $\sigma_{VP}$  i  $\sigma_{VS}$  number of cycles

Poređenje $\sigma$ sa brojem ciklusa	Koeficijent korelacije R	$R^2$	Standardna greška aproksimacije
$\sigma_{VP}$ - N	0,968039	0,937099	1,491689
$\sigma_{VS}$ - N	0,966765	0,934635	1,520619

Slika 5 - Zavisnost  $\sigma_{VP}$  -  $N$ Fig.5 - Dependance  $\sigma_{VP}$  -  $N$ Slika 6 - Zavisnost  $\sigma_{VS}$  -  $N$ Fig.6 - Dependance  $\sigma_{VS}$  -  $N$ 

#### 4. ZAKLJUČAK

Primena i izdržljivost vatrostalnog materijala u uslovima eksploracije se često procenjuje na osnovu njihove termostabilnosti. U okviru ovog rada promene u ponašanju vatrostalnog materijala izloženog termošoku su praćene upotreboom ultrasonične metode. Prednosti korišćenja ove metode su:

- metoda je bez razaranja uzorka,
- brzina metode je takva da skoro trenutno daje potrebne parametre,

- uređaj koji se koristi za merenje je lak, male težine, prenosiv, i može se koristiti van laboratorije.

Rezultati dobijeni u ovom radu su ukazali da je moguće povezivanja većeg broja parametara sa nivoom oštećenja u uzorku, do koga dolazi prilikom ispitivanja termošoka. Na osnovu podataka do kojih smo dosli, a koji su prezentovani u prethodnom poglavlju, može se zaključiti:

- Brzina longitudinalnih i transverzalnih talasa je obrnuto proporcionala broju ciklusa. Sa povećanjem broja ciklusa naglog hladjenja uzoraka, dolazi do smanjenja izmerenih brzina (V<sub>p</sub> i V<sub>s</sub>).
- Izračunate vrednosti Jungovog modula elastičnosti odredjene na osnovu dinamičke metode (ultrazvučne) se mogu na zadovoljavajući način povezati sa brojem ciklusa naglog hladjenja. Sa povećanjem broja ciklusa dolazi do smanjenja dinamičkog Jungovog modula elastičnosti,
- Na osnovu odredjenih brzina talasa moguće je odrediti pad čvrstoće u materijalu izazvan termošokom. Dobijeni rezultati pokazuju jaku korelaciju između smanjenja čvrstoće i broja ciklusa naglog hladjenja.

Ovakvi zaključci upućuju na to da bi korišćenje ultrazvučne metode prilikom razmatranja i određivanja termostabilnosti vatrostalnih materijala značajno doprinela praćenju nivoa oštećenja do koga dolazi tokom ispitivanja. Takodje, ova razmatranja bi se mogla uključiti u postojeće metode, kao i razvoj novih metoda predviđanja termostabilnosti vatrostalnih materijala.

## LITERATURA

- [1] Coppack, " A Method for Thermal Cycling of Refractories and an Appriasal of its Effect by a Non-Destructive Technique", Trans. J.Brit. Ceram.Soc. 80 (1980) /2/ 43-46
- [2] F. Aly, C. E. Semmler, " Prediction of Refractory Strength Using Non Destructive Sonic Measurments", Am. Ceram.Soc.Bull. 64 (1985) /12/ 1555-58
- [3] C. E. Semler, " Nondestructive ultrasonic Evaluation of Refractories " Interceram, No 5 (1981) 485-488
- [4] S. K .Nyiogi, A. C. Das, " Prediction of the Thermal Shock Behaviour of Castable Refractories by Sonic Measurments" Interceram, Vol 43, No 6, (1994), 453-457
- [5] T. Volkov-Husović, R. Jančić, M. Cvetković, D. Mitraković, Z. Popović, "Thermal Shock Behavior of Alumina Based Refractories : Fracture Resistance Parameters and Water Quench Test", Matterials Letters, 38 (1999) 372-378
- [6] T. D. Volkov-Husović, Z. V. Popović, " Resistance parameters and water quench test as criteria of thermal shock behaviour of alumina reafractories", Material Science and Technology, Vol 15, No 10 (1999) 1216-1219

- [7] T. D. Volkov-Husović, R. M. Jančić, Z. V. Popović, " Damage Resistance Parameters and Critical Flaw Size of the Alumina Based Refractories", Interceram, Vol 49, No 4, (2000), s 222-225
- [8] T. Volkov-Husović, R. M. Jančić, " Thermal Shock Behavior of Alumina Based Refractories: Comparison between Damage Resistance Parameters and Water Quench test", Industrial Ceramics, Vol 20, No 3, (2000) s 94-97
- [9] T. D. Volkov-Husović, R. M. Jančić, V. Radojević, Z. Popović, " Prediction of the thermal shock behavior of alumina based refractories: temperature difference, damage resistance parameters and water quench test " EUROMAT 2001, Rimini, Italy, 10-14 June 2001, Abstracts and Papers CD p 105
- [10] T. D. Volkov-Husović, "Termostabilnost vatrostalnih materijala na bazi ( $\text{Al}_2\text{O}_3 + \text{TiO}_2$ ) : "ΔT" parametri otpornosti na termošok i standardna metoda vodenog hladjenja", Metalurgija, Vol.6, No. 2 (2000) s.125-135
- [11] T. D. Volkov-Husović, R.M.Jančić, "Uticaj prirodne konvekcije na termostabilnost vatrostalnih materijala", Metalurgija, No 1, Vol 7, (2001) 59-67
- [12] T. D. Volkov-Husović, R. Janlić, Z. Popović " Analiza uticaja parametara pri prirodoj konvekciji na odredjivanje termostabilnosti vatrostalnog materijala na bazi  $\text{Al}_2\text{O}_3$ ", Metalugija, Vol7, No 3. (2001) 191-199
- [13] T. D. Volkov-Husovic, R. M. Jančić, " Calculation of the heat transfer coefficient during the thermal stability testing of the alumina based refractories', Journal of Metallurgy, Vol 7, No 4. (2001)275-282
- [14] Laboratorijsko odredjivanje brzine impulsa i ultrazvučnih elastičnih konstanta sfera (JUS. D. B8. 121.)